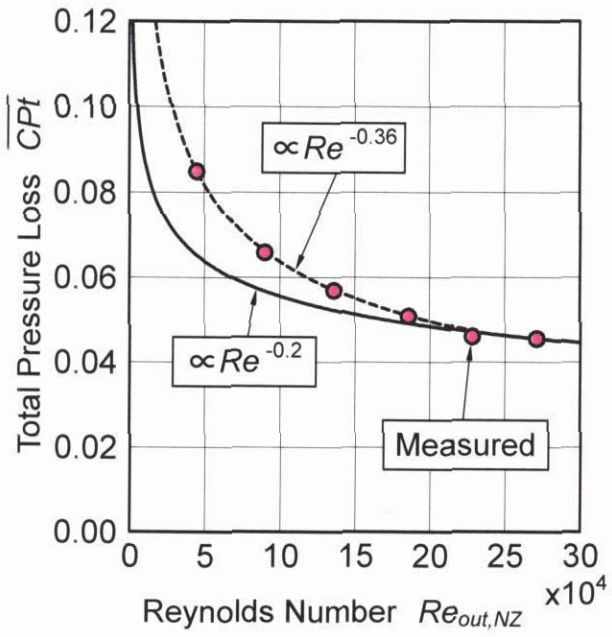
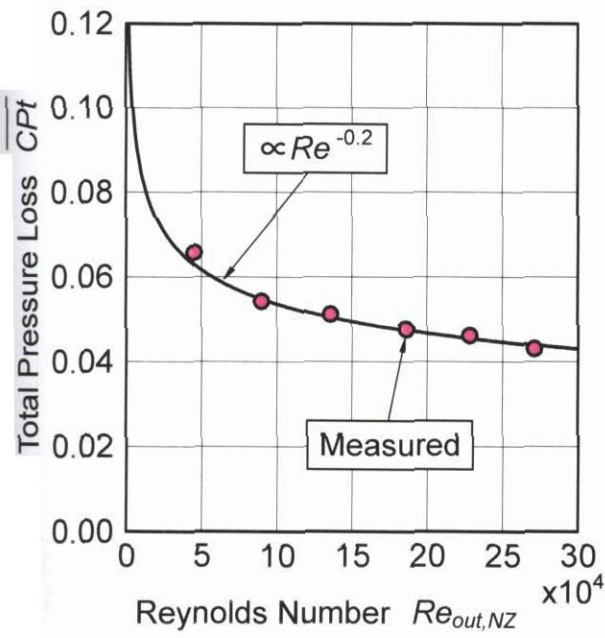


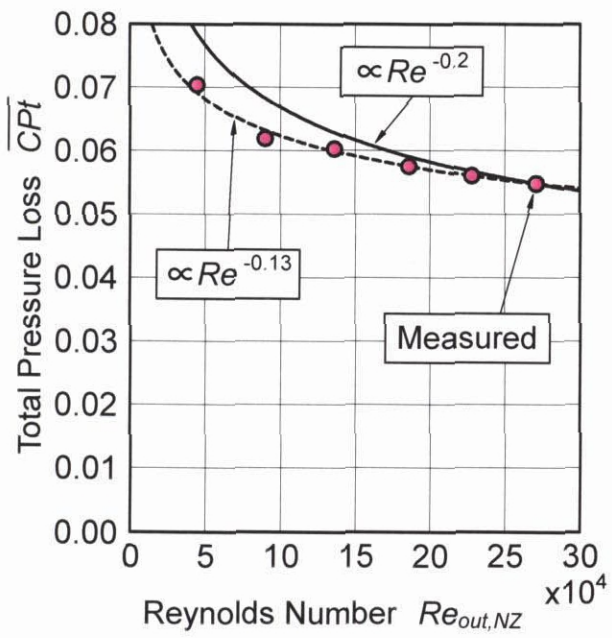
(a) Spanwise Distance  $y/H = 0.967$



(b) Spanwise Distance  $y/H = 0.920$

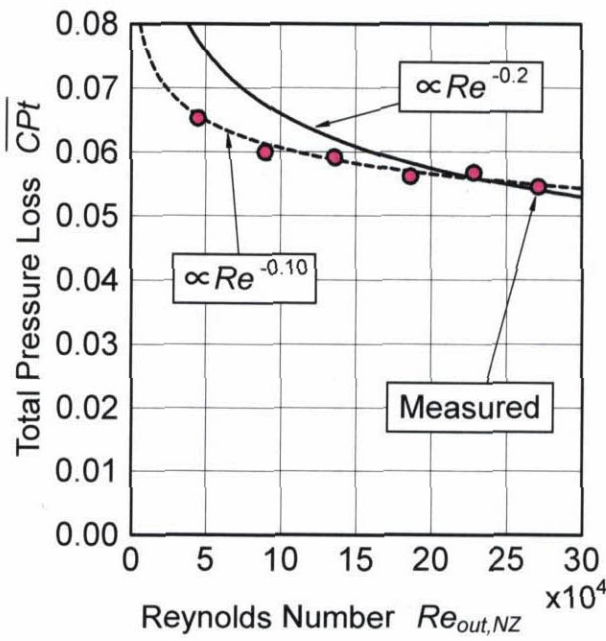


(c) Spanwise Distance  $y/H = 0.873$

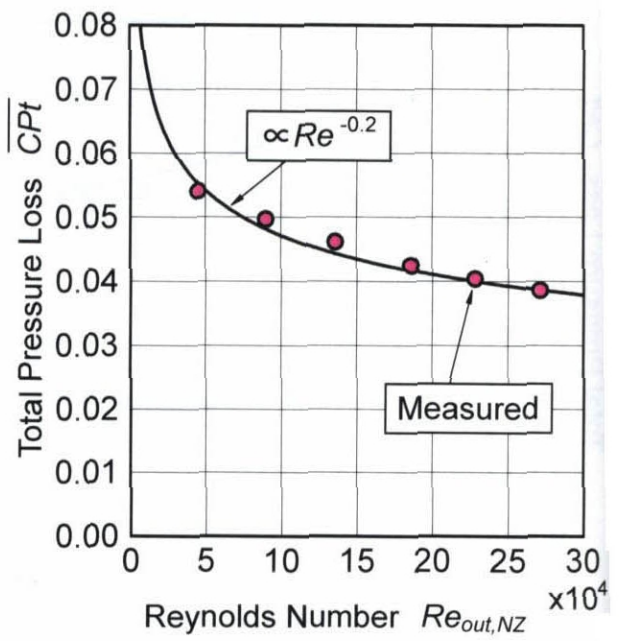


(d) Spanwise Distance  $y/H = 0.827$

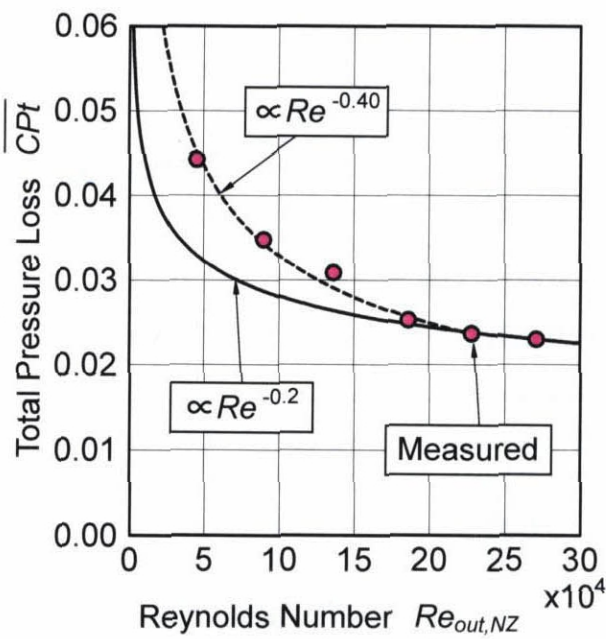
図 4.29 各半径方向位置における損失とレイノルズ数の関係 (その1)  
各半径方向位置での損失値とレイノルズ数相関 ( $-0.2$  乗則) の比較  
(主流乱れ度  $Tu_{in} = 0.5\%$ )



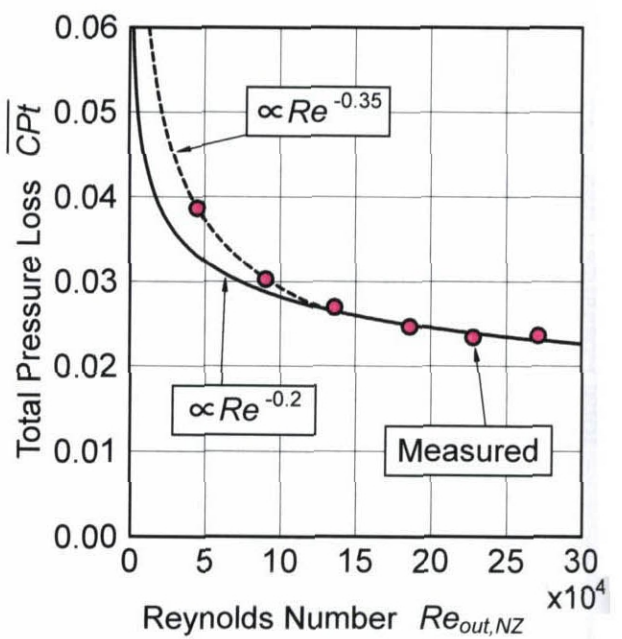
(e) Spanwise Distance  $y/H = 0.780$



(f) Spanwise Distance  $y/H = 0.733$

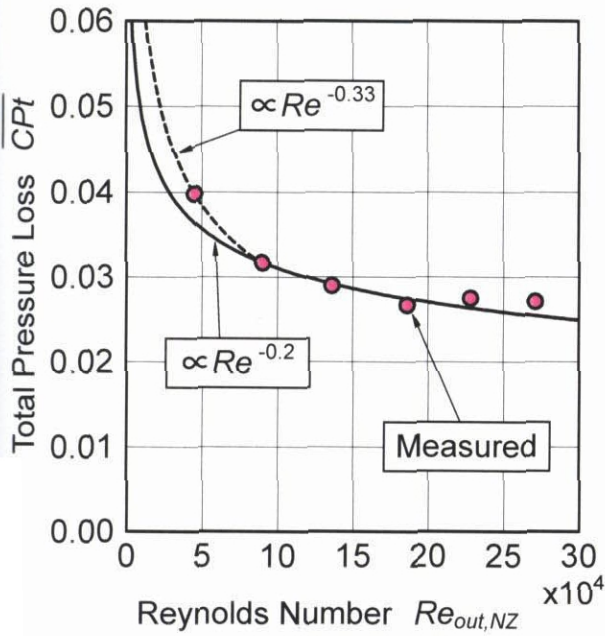


(g) Spanwise Distance  $y/H = 0.687$

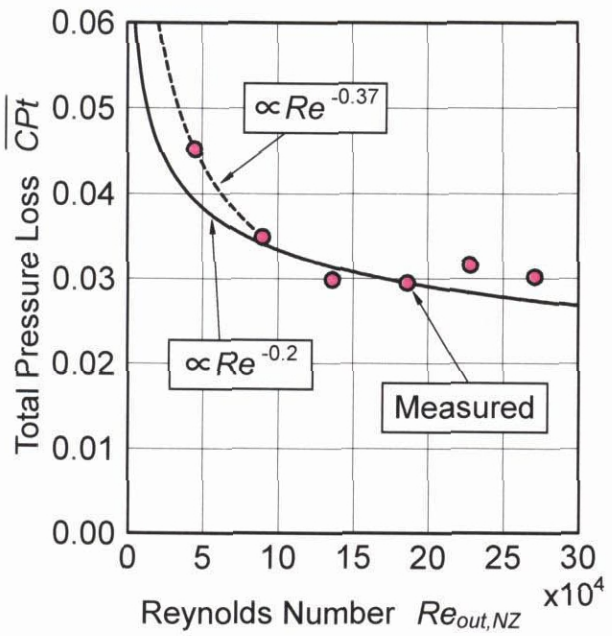


(h) Spanwise Distance  $y/H = 0.640$

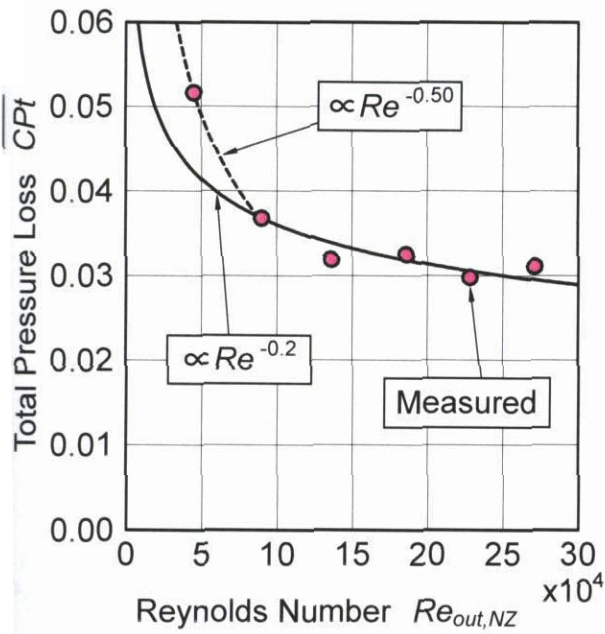
図 4.29 各半径方向位置における損失とレイノルズ数の関係 (その2)  
各半径方向位置での損失値とレイノルズ数相関 (-0.2 乗則) との比較  
(主流乱れ度  $Tu_m = 0.5\%$ )



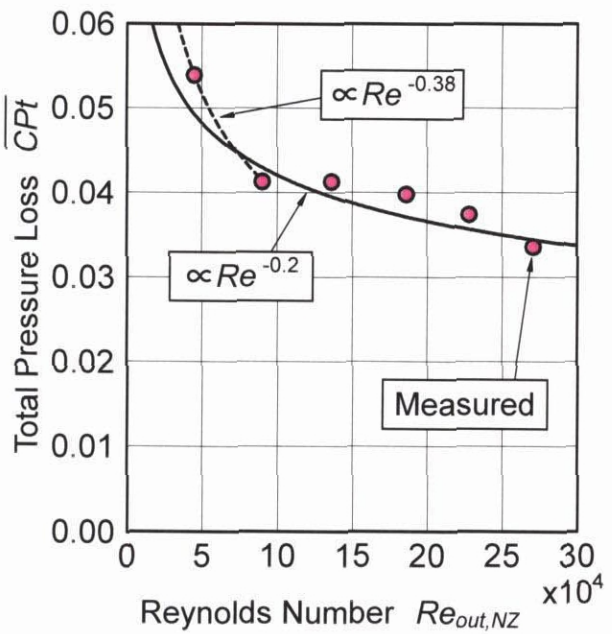
(i) Spanwise Distance  $y/H = 0.593$



(j) Spanwise Distance  $y/H = 0.547$

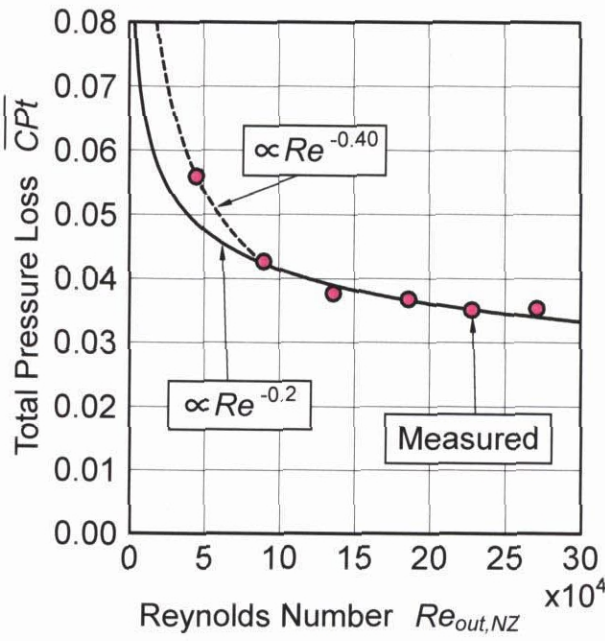


(k) Spanwise Distance  $y/H = 0.500$

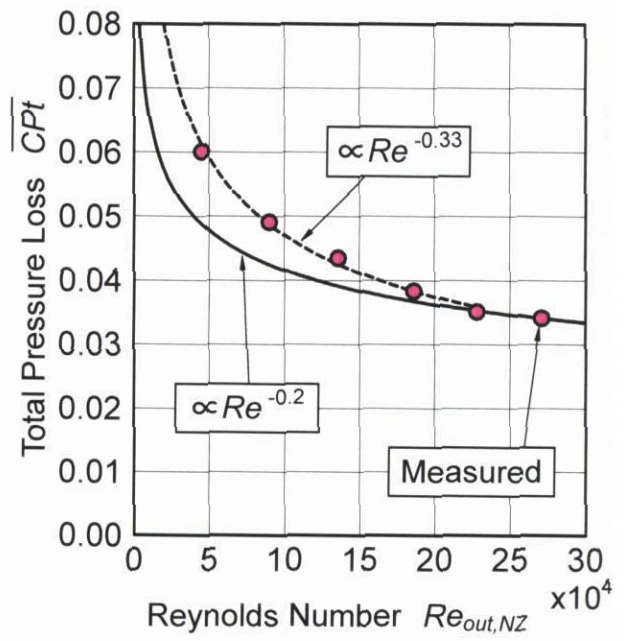


(l) Spanwise Distance  $y/H = 0.453$

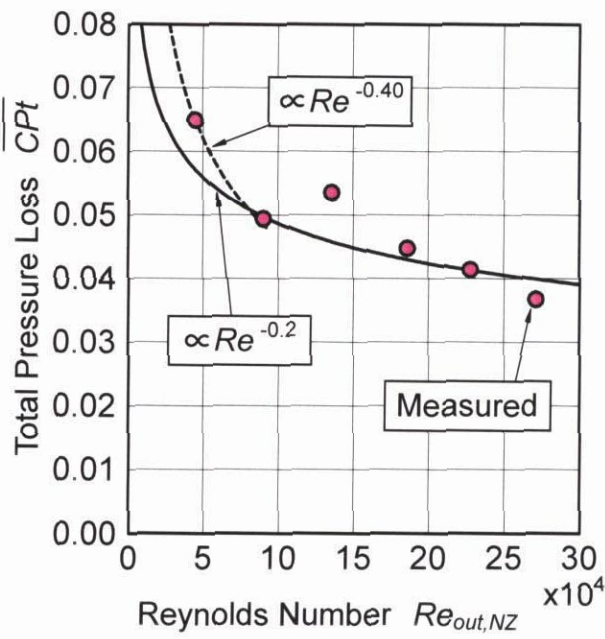
図 4.29 各半径方向位置における損失とレイノルズ数の関係 (その2)  
各半径方向位置での損失値とレイノルズ数相関 (-0.2 乗則) との比較  
(主流乱れ度  $Tu_{in} = 0.5\%$ )



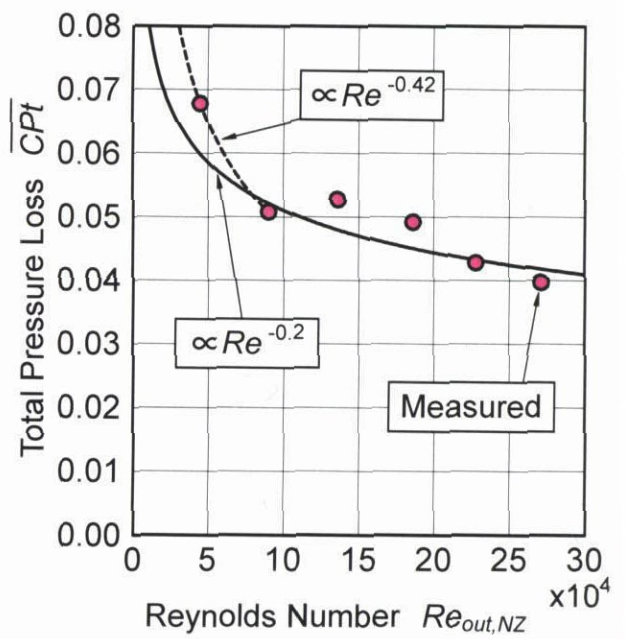
(m) Spanwise Distance  $y/H = 0.407$



(n) Spanwise Distance  $y/H = 0.360$

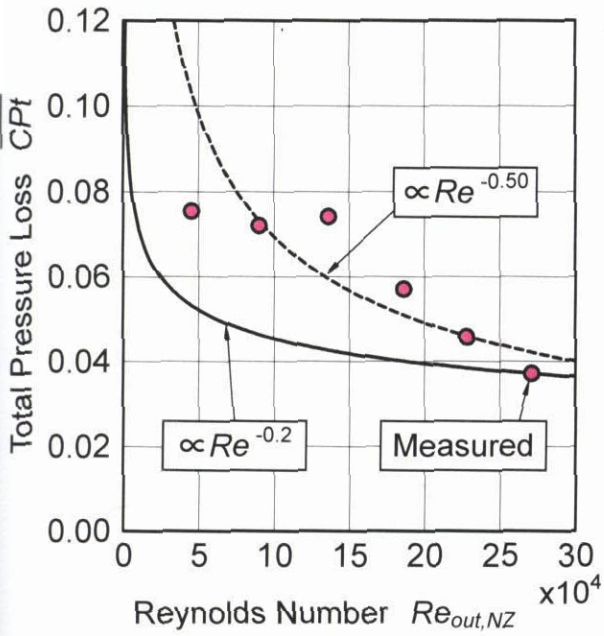


(o) Spanwise Distance  $y/H = 0.313$

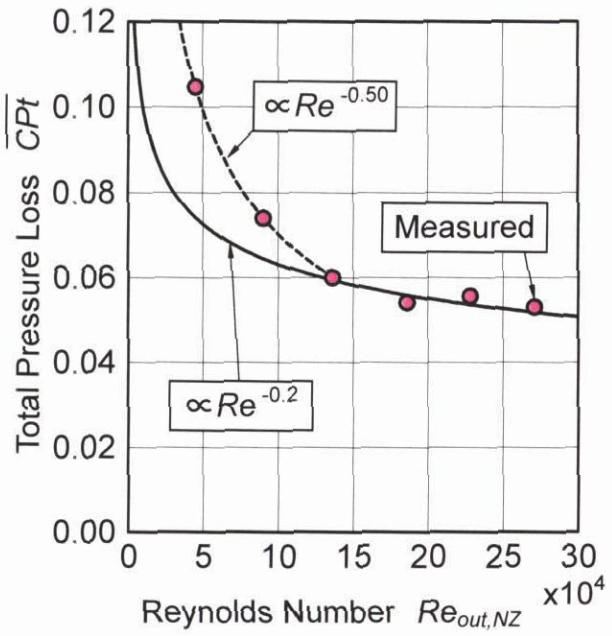


(p) Spanwise Distance  $y/H = 0.267$

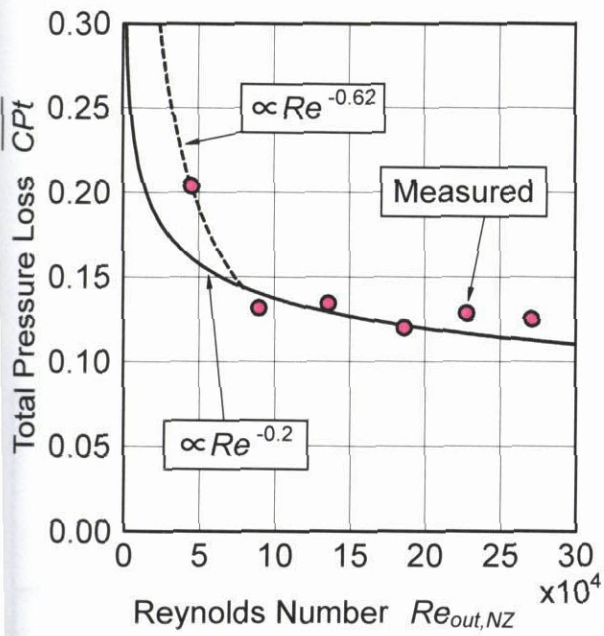
図 4.29 各半径方向位置における損失とレイノルズ数の関係 (その4)  
各半径方向位置での損失値とレイノルズ数相関 (-0.2 乗則) の比較  
(主流乱れ度  $Tu_{in} = 0.5\%$ )



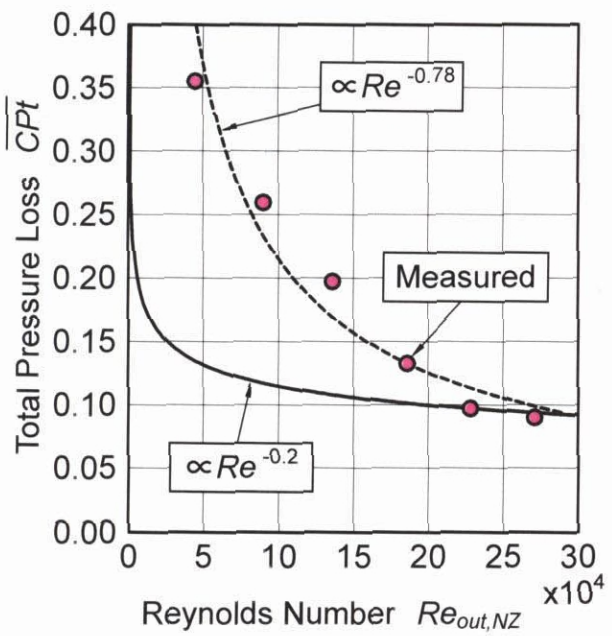
(q) Spanwise Distance  $y/H = 0.220$



(r) Spanwise Distance  $y/H = 0.173$

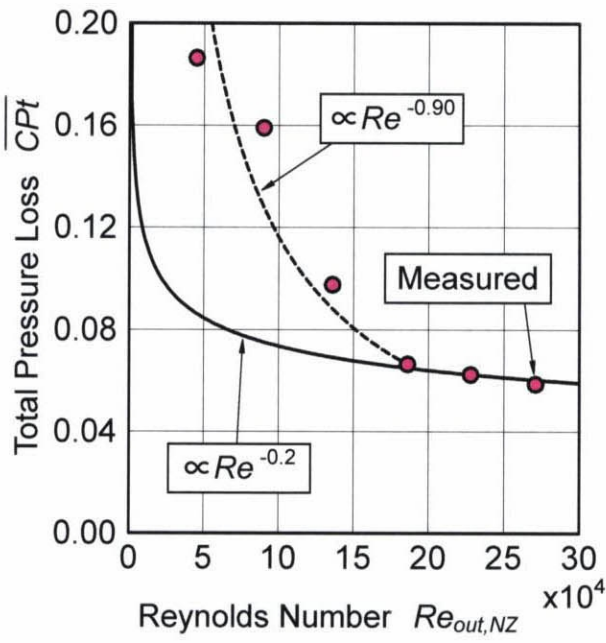


(s) Spanwise Distance  $y/H = 0.127$



(t) Spanwise Distance  $y/H = 0.080$

図 4.29 各半径方向位置における損失とレイノルズ数の関係 (その 5)  
各半径方向位置での損失値とレイノルズ数相関 (-0.2 乗則) の比較  
(主流乱れ度  $Tu_m = 0.5\%$ )



(u) Spanwise Distance  $y/H = 0.033$

図 4.29 各半径方向位置における損失とレイノルズ数の関係 (その6)  
 各半径方向位置での損失値とレイノルズ数相関 (-0.2 乗則) の比較  
 (主流乱れ度  $Tu_{in} = 0.5\%$ )

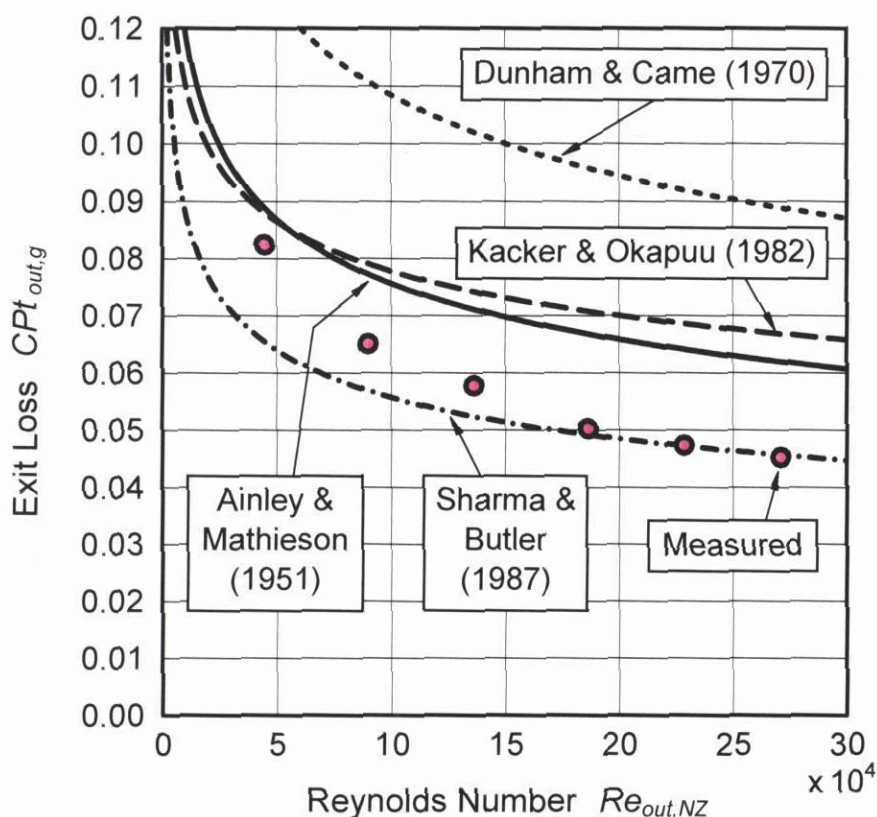


図 4.30 出口全圧損失の実験値と予測値の比較  
(主流乱れ度  $Tu_{in} = 0.5\%$ )

表 4.12 各レイノルズ数における出口全圧損失の実験値と予測値  
(主流乱れ度  $Tu_{in} = 0.5\%$ )

Reynolds Number $Re_{out,NZ}$	Measured Exit Loss $CPT_{out,g}$	Predicted Exit Loss $CPT_{out,g}$			
		Ainley & Mathieson (1951)	Dunham & Came (1970)	Kacker & Okapuu (1982)	Sharma & Butler (1987)
$4.5 \times 10^4$	0.0824	0.0889	0.1274	0.0887	0.0655
$9.0 \times 10^4$	0.0651	0.0773	0.1108	0.0785	0.0569
$13.6 \times 10^4$	0.0578	0.0711	0.1020	0.0737	0.0524
$18.6 \times 10^4$	0.0503	0.0668	0.0958	0.0706	0.0492
$22.8 \times 10^4$	0.0474	0.0641	0.0920	0.0687	0.0472
$27.1 \times 10^4$	0.0453	0.0620	0.0889	0.0673	0.0456

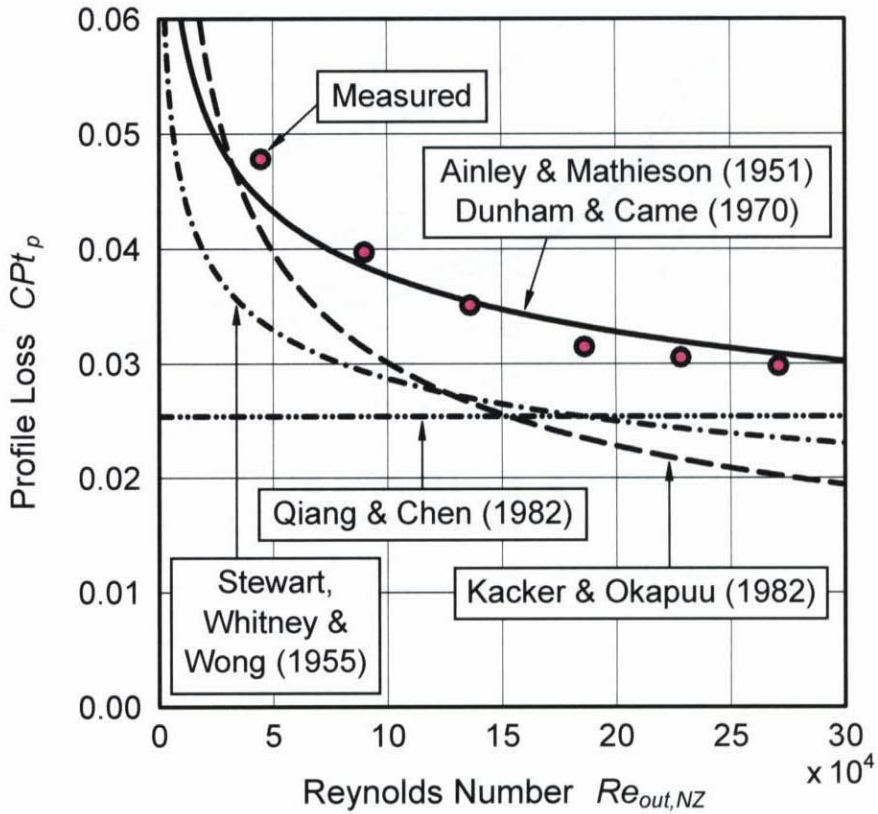


図 4.31 形状損失の実験値と予測値の比較  
(主流乱れ度  $Tu_{in} = 0.5\%$ )

表 4.13 各レイノルズ数における形状損失の実験値と予測値  
(主流乱れ度  $Tu_{in} = 0.5\%$ )

Reynolds Number $Re_{out,NZ}$	Measured Profile Loss $Cpt_p$	Predicted Profile Loss $Cpt_p$				
		Ainley & Mathieson (1951)	Stewart et al. (1955)	Dunham & Came (1970)	Kacker & Okapuu (1982)	Qiang & Chen (1982)
$4.5 \times 10^4$	0.0478	0.0443	0.0337	0.0443	0.0416	0.0254
$9.0 \times 10^4$	0.0397	0.0385	0.0293	0.0385	0.0314	
$13.6 \times 10^4$	0.0351	0.0354	0.0270	0.0354	0.0266	
$18.6 \times 10^4$	0.0315	0.0333	0.0254	0.0333	0.0235	
$22.8 \times 10^4$	0.0306	0.0319	0.0243	0.0319	0.0216	
$27.1 \times 10^4$	0.0298	0.0309	0.0235	0.0309	0.0202	

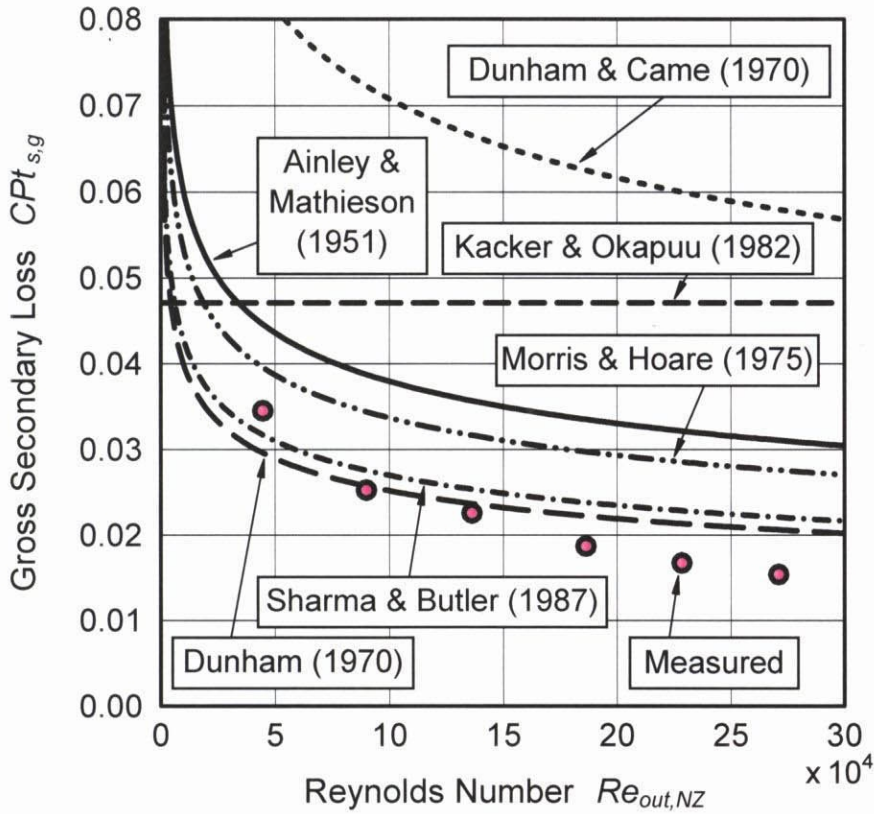


図 4.32 二次損失の実験値と予測値の比較  
(主流乱れ度  $Tu_{in} = 0.5\%$ )

表 4.14 各レイノルズ数における二次損失の実験値と予測値  
(主流乱れ度  $Tu_{in} = 0.5\%$ )

Reynolds Number $Re_{out,NZ}$	Measured Secondary Loss $Cpt_{s,g}$	Predicted Gross Secondary Loss $Cpt_{s,g}$					
		Ainley & Mathieson (1951)	Dunham & Came (1970)	Dunham (1970)	Morris & Hoare (1975)	Kacker & Okapuu (1982)	Sharma & Butler (1987)
$4.5 \times 10^4$	0.0345	0.0446	0.0832	0.0296	0.0396	0.0471	0.0317
$9.0 \times 10^4$	0.0253	0.0388	0.0723	0.0257	0.0344		0.0276
$13.6 \times 10^4$	0.0226	0.0357	0.0666	0.0237	0.0317		0.0254
$18.6 \times 10^4$	0.0187	0.0335	0.0625	0.0223	0.0297		0.0239
$22.8 \times 10^4$	0.0167	0.0322	0.0600	0.0214	0.0286		0.0229
$27.1 \times 10^4$	0.0154	0.0311	0.0580	0.0206	0.0276		0.0221